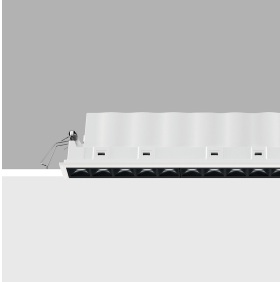


Ultimo aggiornamento delle informazioni: Febbraio 2025

Configurazione di prodotto: Q517

Q517: Frame 15 celle - Flood beam - LED



Codice prodotto

Q517: Frame 15 celle - Flood beam - LED

Descrizione tecnica

Apparecchio miniaturizzato lineare ad incasso a 15 elementi ottici per sorgenti LED - ottiche fisse. Nonostante le dimensioni extra-compatte del prodotto, la tecnologia brevettata del sistema ottico garantisce un flusso efficace ed un elevato comfort visivo ad abbagliamento controllato. Corpo principale con superficie radiante in alluminio pressofuso, versione con cornice perimetrale di battuta. Riflettori Opti Beam ad alta definizione in termoplastico metallizzato, integrati in posizione arretrata nello schermo antiabbagliamento. Fornito con unità di alimentazione DALI collegata all'apparecchio.

Installazione

Ad incasso con molle in filo di acciaio per controsoffitti da 1 a 25 mm - asola di preparazione 24 x 276.

Colore

Bianco (01) | Nero/Nero (43) | Bianco/Nero (47) | Bianco/Oro (41)* | Grigio/Nero (74)* | Bianco/Cromo brunito (E7)*

Peso (Kg)

0.75

* Colori a richiesta

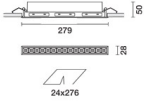
Montaggio

incasso a parete|incasso a soffitto

Cablaggio

Sull'unità di alimentazione con morsettieria inclusa.

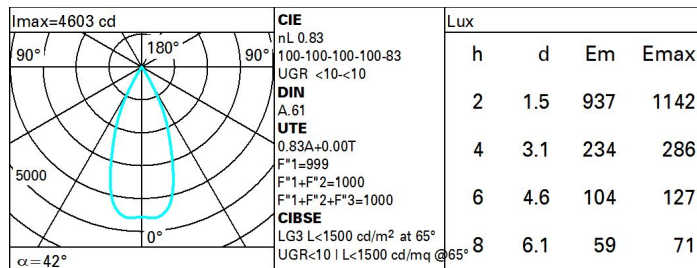
Soddisfa EN60598-1 e relative note



Dati tecnici

| | | | |
|--|------|------------------------------------|---------------------------------|
| Im di sistema: | 2241 | Temperatura colore [K]: | 3000 |
| W di sistema: | 33.8 | MacAdam Step: | 2 |
| Im di sorgente: | 2700 | Life Time LED 1: | > 50,000h - L80 - B10 (Ta 25°C) |
| W di sorgente: | 30 | Voltaggio [Vin]: | 230 |
| Efficienza luminosa (Im/W, dati di sistema): | 66.3 | Codice lampada: | LED |
| Im in modalità emergenza: | - | Numero di lampade per vano ottico: | 1 |
| Flusso totale emesso a 90° o superiore [Lm]: | 0 | Codice ZVEI: | LED |
| Light Output Ratio (L.O.R.) [%]: | 83 | Numero di vani ottici: | 1 |
| Angolo di apertura [°]: | 43° | Control: | DALI-2 |
| CRI (minimo): | 90 | | |

Polare



Coefficienti di utilizzazione

| R | 77 | 75 | 73 | 71 | 55 | 53 | 33 | 00 | DRR |
|------|----|----|----|----|----|----|----|----|-----|
| K0.8 | 75 | 71 | 68 | 66 | 70 | 68 | 68 | 65 | 78 |
| 1.0 | 78 | 75 | 72 | 70 | 74 | 72 | 71 | 69 | 83 |
| 1.5 | 82 | 80 | 77 | 76 | 79 | 77 | 76 | 74 | 89 |
| 2.0 | 85 | 83 | 81 | 80 | 82 | 80 | 79 | 77 | 93 |
| 2.5 | 86 | 85 | 84 | 83 | 84 | 83 | 82 | 79 | 96 |
| 3.0 | 87 | 86 | 85 | 85 | 85 | 84 | 83 | 81 | 98 |
| 4.0 | 88 | 87 | 87 | 86 | 86 | 86 | 84 | 82 | 99 |
| 5.0 | 89 | 88 | 88 | 88 | 87 | 87 | 85 | 83 | 100 |

Curva limite di luminanza

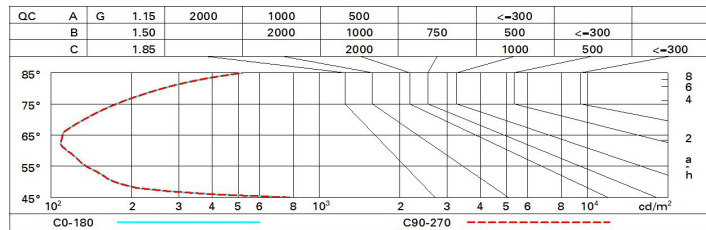


Diagramma UGR

| Corrected UGR values (at 2700 lm bare lamp luminous flux) | | | | | | | | | | | |
|---|------|------------------|------|------|------|------|----------------|------|------|------|------|
| Reflect.: | | viewed crosswise | | | | | viewed endwise | | | | |
| ceil/cav | | 0.70 | 0.70 | 0.50 | 0.50 | 0.30 | 0.70 | 0.70 | 0.50 | 0.50 | 0.30 |
| walls | | 0.50 | 0.30 | 0.50 | 0.30 | 0.30 | 0.50 | 0.30 | 0.50 | 0.30 | 0.30 |
| work pl. | | 0.20 | 0.20 | 0.20 | 0.20 | 0.20 | 0.20 | 0.20 | 0.20 | 0.20 | 0.20 |
| Room dim | | | | | | | | | | | |
| x | y | | | | | | | | | | |
| 2H | 2H | 7.1 | 7.6 | 7.4 | 7.8 | 8.1 | 7.1 | 7.6 | 7.4 | 7.8 | 8.1 |
| | 3H | 7.0 | 7.4 | 7.3 | 7.7 | 8.0 | 7.0 | 7.4 | 7.3 | 7.7 | 8.0 |
| | 4H | 6.9 | 7.4 | 7.3 | 7.6 | 7.9 | 6.9 | 7.4 | 7.3 | 7.6 | 7.9 |
| | 6H | 6.9 | 7.2 | 7.2 | 7.6 | 7.9 | 6.9 | 7.2 | 7.2 | 7.6 | 7.9 |
| | 8H | 6.8 | 7.2 | 7.2 | 7.5 | 7.9 | 6.8 | 7.2 | 7.2 | 7.5 | 7.8 |
| | 12H | 6.8 | 7.2 | 7.2 | 7.5 | 7.8 | 6.8 | 7.1 | 7.2 | 7.5 | 7.8 |
| 4H | 2H | 6.9 | 7.4 | 7.3 | 7.6 | 7.9 | 6.9 | 7.4 | 7.3 | 7.6 | 7.9 |
| | 3H | 6.8 | 7.1 | 7.2 | 7.5 | 7.8 | 6.8 | 7.1 | 7.2 | 7.5 | 7.8 |
| | 4H | 6.7 | 7.0 | 7.1 | 7.4 | 7.8 | 6.7 | 7.0 | 7.1 | 7.4 | 7.8 |
| | 6H | 6.6 | 6.9 | 7.0 | 7.3 | 7.7 | 6.6 | 6.9 | 7.0 | 7.3 | 7.7 |
| | 8H | 6.6 | 6.8 | 7.0 | 7.2 | 7.7 | 6.6 | 6.8 | 7.0 | 7.2 | 7.7 |
| | 12H | 6.5 | 6.8 | 7.0 | 7.2 | 7.6 | 6.5 | 6.7 | 7.0 | 7.2 | 7.6 |
| 8H | 4H | 6.6 | 6.8 | 7.0 | 7.2 | 7.7 | 6.6 | 6.8 | 7.0 | 7.2 | 7.7 |
| | 6H | 6.5 | 6.7 | 7.0 | 7.1 | 7.6 | 6.5 | 6.7 | 7.0 | 7.1 | 7.6 |
| | 8H | 6.4 | 6.6 | 6.9 | 7.1 | 7.6 | 6.4 | 6.6 | 6.9 | 7.1 | 7.6 |
| | 12H | 6.4 | 6.6 | 6.9 | 7.0 | 7.6 | 6.4 | 6.5 | 6.9 | 7.0 | 7.5 |
| 12H | 4H | 6.5 | 6.7 | 7.0 | 7.2 | 7.6 | 6.5 | 6.8 | 7.0 | 7.2 | 7.6 |
| | 6H | 6.4 | 6.6 | 6.9 | 7.1 | 7.6 | 6.4 | 6.6 | 6.9 | 7.1 | 7.6 |
| | 8H | 6.4 | 6.5 | 6.9 | 7.0 | 7.5 | 6.4 | 6.6 | 6.9 | 7.0 | 7.6 |
| Variations with the observer position at spacing: | | | | | | | | | | | |
| S = | 1.0H | 7.0 / -14.5 | | | | | 7.0 / -14.5 | | | | |
| | 1.5H | 9.8 / -14.7 | | | | | 9.8 / -14.7 | | | | |
| | 2.0H | 11.8 / -14.8 | | | | | 11.8 / -14.8 | | | | |